

降香檀叶的非黄酮类成分研究

吕玲^{1,2}, 李威霆³, 谢海辉^{1*}

(1. 中国科学院华南植物园, 广东省应用植物学重点实验室, 中国科学院华南农业植物分子分析与遗传改良重点实验室, 广州 510650; 2. 中国科学院大学, 北京 100049; 3. 武汉科技大学化学与化工学院, 武汉 430081)

摘要: 为阐明降香檀(*Dalbergia odorifera* T. Chen)叶的化学成分, 采用色谱分离方法, 从叶的醇提和水煮液中得到8个非黄酮类化合物。经理化性质和波谱分析, 分别鉴定为(3S)-6,7-二羟基-6,7-二氢芳樟醇(1)、淫羊藿次苷B1(2)、淫羊藿次苷B6(3)、淫羊藿次苷F2(4)、苯甲醇 β -巢菜糖苷(5)、苯乙醇 β -巢菜糖苷(6)、2,3-丁二醇2-O- β -D-葡萄糖苷(7)和腺嘌呤(8)。化合物1为单萜、2和3为大柱香波龙烷糖苷、4~6为芳基糖苷、7为烷基糖苷、8为嘌呤, 均为首次从该植物中报道。

关键词: 降香檀; 叶; 非黄酮类成分; 淫羊藿次苷; 芳基糖苷

doi: 10.11926/jtsb.3941

Non-flavonoid Constituents from the Leaves of *Dalbergia odorifera*

LÜ Ling^{1,2}, LI Wei-ting³, XIE Hai-hui^{1*}

(1. Guangdong Provincial Key Laboratory of Applied Botany, Key Laboratory of South China Agricultural Plant Molecular Analysis and Genetic Improvement, South China Botanical Garden, Chinese Academy of Sciences, Guangzhou 510650, China; 2. University of Chinese Academy of Sciences, Beijing 100049, China; 3. School of Chemical Engineering and Technology, Wuhan University of Science and Technology, Wuhan 430081, China)

Abstract: To clarify the chemical constituents in the leaves of *Dalbergia odorifera* T. Chen (Leguminosae), eight non-flavonoid compounds were isolated from the ethanol extract and decoction of the leaves by means of chromatographic separation techniques. Based on spectral data, their structures were identified as (3S)-6,7-dihydroxy-6,7-dihydrolinalool (1), icariside B1 (2), icariside B6 (3), icariside F2 (4), benzyl alcohol β -vicianoside (5), phenethyl alcohol β -vicianoside (6), butane-2,3-diol 2-O- β -D-glucoside (7), and adenine (8). Compound 1 is a monoterpenoid, compounds 2 and 3 are megastigmane glucosides, compounds 4–6 are aryl glycosides, compound 7 is an alkyl glucoside, and compound 8 is a purine. All the compounds were reported from this species for the first time.

Key words: *Dalbergia odorifera*; Leaf; Non-flavonoid constituent; Icariside; Aryl glycoside

降香檀(*Dalbergia odorifera* T. Chen)为豆科(Leguminosae)黄檀属乔木, 原产海南, 见于白沙、东方、乐东和崖县, 又名海南黄花梨。其心材红褐色, 木质坚硬, 纹理清晰, 有光泽, 干燥后不变形、不开裂, 耐湿耐腐蚀, 并有独特的香气, 是制作高档家俱和工艺品的优质材料; 还供药用, 称降香,

收载于我国药典中, 有化瘀止血, 理气止痛之功效, 用于吐血, 鼻血, 外伤出血, 肝郁胁痛, 胸痹刺痛, 跌仆伤痛, 呕吐腹痛^[1-2]。因乱砍滥伐, 现存降香檀数量少, 是珍稀红木树种, 为国家二级保护植物。在我国华南地区有种植, 但由于该树种生长极其缓慢, 成材需数十年乃至上百年时间。降香檀叶近革

收稿日期: 2018-05-07 接受日期: 2018-06-22

基金项目: 中国科学院大学生创新实践训练计划基金; 广东省应用型科技研发专项(2016B020239004)资助

This work was supported by Innovation Training Programs for Undergraduates, Chinese Academy of Sciences and Guangdong Applied Science and Technology Research and Development Program (Grant No. 2016B020239004).

作者简介: 吕玲, 女, 硕士研究生。E-mail: 981925852@qq.com

* 通信作者 Corresponding author. E-mail: xiehaih@scbg.ac.cn

质,卵形或椭圆形,叶长15~25 cm,有淡淡的香味,可再生,资源丰富,值得开发利用。

降香檀心材的化学成分主要为挥发油类和黄酮类,含量约为3.79%和2.50%。挥发油成分主要为橙花叔醇、2,4-二甲基-2,4-庚二烯醛、氧化石竹烯、2,4-二甲基-2,6-庚二烯醛、蒎烯、金合欢醇等,以橙花叔醇含量最高^[3]。黄酮类成分已报道了90多个化合物,包括黄酮、异黄酮、二氢黄酮、二氢异黄酮、黄烷、异黄烷、新黄酮、查尔酮、紫檀素、双黄酮、Xanthone等结构类型,以异黄酮类为主^[4-8]。此外,降香檀心材中还报道了17个倍半萜类、6个芳基苯唑呋喃类、2个木脂素类、2个脂肪酸类和1个烷基酮类化合物^[4-6]。降香檀叶的挥发油成分主要有2-甲氧基-4-乙烯基苯酚、棕榈酸、苯酚、2-甲基-6-羟基喹啉和17个低含量成分等,与心材相比,种类和含量都有明显差别^[3,9]。降香檀叶中的黄酮类成分仅报道了鹰嘴豆芽素A(biochanin A)、染料木素(genistein)、鸢尾黄素(tectorigenin)、樱黄素(prunetin)和6-羟基鹰嘴豆芽素A(6-hydroxybiochanin A)共5个异黄酮类,其他类型化合物未见报道^[10-11]。本文报道从降香檀叶中分离得到的1个单萜、2个大柱香波龙烷糖苷、3个芳基糖苷、1个烷基糖苷和1个嘌呤类的结构(图1),这些非黄酮类化合物均为首次从该植物中报道。

1 材料和方法

1.1 材料

试验材料于2015年12月采自广东省湛江市麻章区华仁黄花梨种植专业合作社,由中国科学院华南植物园叶华谷研究员鉴定为降香檀(*Dalbergia odorifera* T. Chen)叶。

青岛谱科分离材料公司柱层析硅胶(100~200目);烟台江友硅胶开发公司薄层色谱(TLC) HSGF₂₅₄ 硅胶板,先紫外显色,再喷洒硫酸-乙醇烤热显色;利穗科技(苏州)公司中压色谱柱[填料 Chromatorex C18 SMB100,粒径20~45 μm,内柱长400 mm,内径(i.d.)25 mm];Cosmosil公司5C18-MS-II色谱柱(5 μm,分析用250 mm×4.6 mm i.d.,制备用250 mm×20 mm i.d.);GE Healthcare Bio-Sciences AB公司葡聚糖凝胶 LH-20。

1.2 仪器和试剂

利穗科技(苏州)公司EZ Purifier 100中压液相

色谱(MPLC)仪;岛津公司LC-6AD高效液相色谱(HPLC)仪和RID-10A示差检测器;北京创新通恒科技公司LC3000 HPLC仪和UV3000检测器;应用生物系统公司MDS SCIEX API 2000 LC-MS/MS联用仪,电喷雾(ESI)电离源;Bruker公司Ascend-500核磁共振(NMR)仪,化学位移值(δ , ppm)以溶剂峰为参照。

提取用乙醇为食用级,萃取和柱层析用氯仿、正丁醇、甲醇为分析纯,高效液相色谱用甲醇和乙腈为色谱纯。

1.3 提取和分离

新鲜降香檀叶在50℃鼓风烘干,粉碎。取粉末2 700 g,用95%乙醇浸泡3次,溶剂体积依次为13.5、10.8和10.8 L,每次浸泡2 d,不时用棍棒搅动,放出溶液,过滤,减压浓缩至干,得乙醇提取物357 g。滤渣加水10.8 L,煮沸0.5 h,抽滤,滤液减压浓缩至4.5 L。将乙醇提取物溶于水煮液中,倒入分液漏斗,用氯仿萃取4次,每次3 L,合并萃取液,用无水硫酸钠脱水,减压浓缩至干,得氯仿萃取物141 g。水溶液用正丁醇萃取5次,每次3 L,合并萃取液,脱水,减压浓缩至干,得正丁醇萃取物167 g。

取正丁醇萃取物165 g,用甲醇溶解,加入硅胶200 g,拌匀,减压抽干溶剂,倒出,研磨,过40目筛。取硅胶3 300 g,用氯仿搅匀,倒入层析柱中,缓慢放出溶剂,用纸筒敲打柱壁,至硅胶面不再下降为止。倒入样品,敲实,层析柱内径11.8 cm,硅胶高度78.1 cm,柱体积8 536 mL。依次用氯仿(18 L)、氯仿-甲醇混合液[95:5, 27 L→9:1, 24 L→85:15, 32 L→8:2, 25 L→75:25, 40 L→7:3, 26 L→6:4, 17 L, V/V(下同)]、甲醇(10 L)洗脱,收集洗脱流份,每份1 L,减压浓缩至干,TLC检查,合并主点相同的流份,得组分DLB1~DLB23。DLB6(1.42 g)经MPLC分离,以甲醇-水梯度洗脱,流速10 mL min⁻¹,流份经TLC检查,合并为亚组分DLB6-1~DLB6-6。DLB6-2经凝胶柱分离,用甲醇洗脱,洗脱物经HPLC纯化,以甲醇-水(18:82)为流动相,流速6 mL min⁻¹,得化合物1(保留时间 t_R =61.1 min, 8 mg)。DLB8(1.62 g)经MPLC分离,以甲醇-水梯度洗脱,流份经TLC检查,合并为亚组分DLB8-1~DLB8-19。DLB8-10经凝胶柱分离,以甲醇洗脱,洗脱物经HPLC纯化,以乙腈-水(15:85)为流动相,流速7 mL min⁻¹,

得化合物 **3** ($t_{\text{R}}=107.0 \text{ min}$, 2.6 mg)。DLB9 (2.08 g) 经 MPLC 分离, 以甲醇-水梯度洗脱, 流份经 TLC 检查, 合并为亚组分 DLB9-1~DLB9-15。DLB9-2 有白色沉淀析出, 过滤, 得化合物 **8** (12.1 mg)。DLB12 (6.27 g) 经 MPLC 分离, 以甲醇-水梯度洗脱, 流份经 TLC 检查, 合并为亚组分 DLB12-1~DLB12-22。DLB12-3 (327 mg) 经凝胶柱分离, 以甲醇洗脱, 得化合物 **7** (30.2 mg), DLB12-8 (290 mg) 经凝胶柱分离, 以甲醇洗脱, 流份经 TLC 检查, 合并为组分 DLB12-8-1~DLB12-8-5。DLB12-8-2 经 HPLC 纯化, 以乙腈-水(10:90)为流动相, 流速 7 mL min^{-1} , 得化合物 **2** ($t_{\text{R}}=42.0 \text{ min}$, 27.4 mg)。DLB12-8-3 经 HPLC 纯化, 以乙腈-水(12:88)为流动相, 流速 7 mL min^{-1} , 得化合物 **4** ($t_{\text{R}}=32.5 \text{ min}$, 17.8 mg)。DLB13 (2.87 g) 经 MPLC 分离, 以甲醇-水梯度洗脱, 流份经 TLC 检查, 合并为亚组分 DLB13-1~DLB13-16。DLB13-6 经凝胶柱分离, 以甲醇洗脱, 洗脱物经 HPLC 纯化, 以甲醇-水(30:70)为流动相, 流速 6 mL min^{-1} , 得化合物 **5** ($t_{\text{R}}=71.1 \text{ min}$, 18.6 mg)。DLB13-7 (135 mg) 经凝胶柱分离, 以甲醇洗脱, 流份经 TLC 检查, 合并为组分 DLB13-7-1~DLB13-7-5。DLB13-7-2 (50 mg) 经 HPLC 纯化, 以甲醇-水(25:75)为流动相, 流速 7 mL min^{-1} , 得化合物 **5** ($t_{\text{R}}=35.6 \text{ min}$, 3.2 mg)。DLB13-8 经凝胶柱分离, 用甲醇洗脱, 洗脱物经 HPLC 纯化, 以甲醇-水(30:70)为流动相, 流速 6 mL min^{-1} , 得化合物 **6** ($t_{\text{R}}=92.0 \text{ min}$, 19.5 mg)。

1.4 结构鉴定

化合物 1 无色油状物(氯仿); ESI-MS m/z :

211 [M + Na]⁺, 227 [M + K]⁺, 187 [M - H]⁻, 223 [M + Cl]⁻, 分子量 188, 分子式 C₁₀H₂₀O₃; 核磁共振谱中出现两套信号峰, 按氢谱积分计算两者的比例为 14:9 (**1a**:**1b**)。**1a**: ¹H NMR (CD₃OD, 500 MHz): δ 5.92 (1H, dd, $J=17.4, 10.8 \text{ Hz}$, H-2), 5.20 (1H, d, $J=17.4, 1.6 \text{ Hz}$, trans-H-1), 5.02 (1H, d, $J=10.8, 1.6 \text{ Hz}$, cis-H-1), 3.22 (1H, dd, $J=10.5, 1.9 \text{ Hz}$, H-6), 1.25 (3H, s, H₃-10), 1.16/1.13 (各 3H, s, H₃-8/9); ¹³C NMR (CD₃OD, 125 MHz): δ 112.0 (C-1), 146.6 (C-2), 73.9 (C-3), 40.8 (C-4), 26.7 (C-5), 80.2 (C-6), 73.9 (C-7), 25.5/25.1 (C-8/9), 27.7 (C-10); **1b**: ¹H NMR (CD₃OD, 500 MHz): δ 5.91 (1H, dd, $J=17.4, 10.8 \text{ Hz}$, H-2), 5.20 (1H, d, $J=17.4, 1.6 \text{ Hz}$, trans-H-1), 5.02 (1H, d, $J=10.8, 1.6 \text{ Hz}$, cis-H-1), 3.22 (1H, dd, $J=10.5, 1.9 \text{ Hz}$, H-6), 1.26 (3H, s, H₃-10), 1.15/1.13 (各 3H, s, H₃-8/9); ¹³C NMR (CD₃OD, 125 MHz): δ 112.0 (C-1), 146.4 (C-2), 73.9 (C-3), 40.8 (C-4), 26.8 (C-5), 80.1 (C-6), 73.8 (C-7), 25.5 (C-8), 25.1 (C-9), 28.0 (C-10)。以上数据与文献[12]报道的一致, 故鉴定为(3S,6S)-6,7-二羟基-6,7-二氢芳樟醇(**1a**)和(3S,6R)-6,7-二羟基-6,7-二氢芳樟醇(**1b**)的混合物, 为一对差向异构体。

化合物 2 白色粉末(甲醇); ESI-MS m/z : 409 [M + Na]⁺, 425 [M + K]⁺, 385 [M - H]⁻, 421 [M + Cl]⁻, 分子量 386, 分子式 C₁₉H₃₀O₈; ¹H NMR (DMSO-d₆, 500 MHz): δ 5.76 (1H, s, H-8), 4.24 (1H, d, $J=7.8 \text{ Hz}$, H-1'), 4.17 (1H, tt, $J=11.3, 4.1 \text{ Hz}$, H-3), 2.11 (3H, s, H₃-10), 1.32 (3H, s, H₃-12), 1.28 (3H, s, H₃-13), 1.07 (3H, s, H₃-11); ¹³C NMR (DMSO-d₆, 125 MHz): δ 35.9 (C-1), 47.4 (C-2), 71.1 (C-3), 46.5

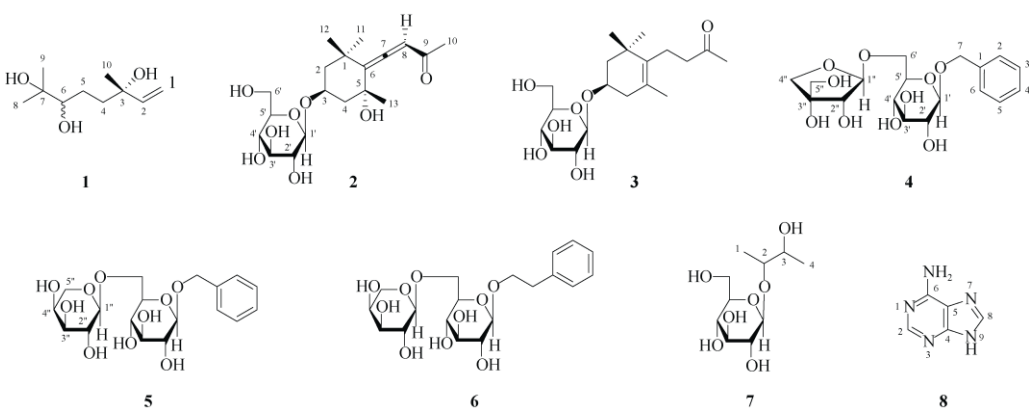


图 1 化合物 1~8 的结构

Fig. 1 Structures of compounds 1~8

(C-4), 70.8 (C-5), 119.0 (C-6), 209.5 (C-7), 100.1 (C-8), 198.2 (C-9), 26.6 (C-10), 32.0 (C-11), 29.1 (C-12), 30.7 (C-13), 101.7 (C-1'), 73.9 (C-2'), 77.2 (C-3'), 70.5 (C-4'), 77.2 (C-5'), 61.5 (C-6')。以上数据与文献[13]报道的一致, 故鉴定为淫羊藿次苷B1。

化合物 3 白色粉末(甲醇); ESI-MS m/z : 395 [$M + Na$]⁺, 411 [$M + K$]⁺, 371 [$M - H$]⁻, 407 [$M + Cl$]⁻, 分子量 372, 分子式 $C_{19}H_{32}O_7$; ¹H NMR (CD₃OD, 500 MHz): δ 4.42 (1H, d, $J = 7.8$ Hz, H-1'), 4.06 (1H, m, H-3), 2.14 (3H, s, H₃-10), 1.62 (3H, s, H₃-13), 1.05/1.04 (各 3H, s, H₃-11/12); ¹³C NMR (CD₃OD, 125 MHz): δ 38.7 (C-1), 47.4 (C-2), 73.1 (C-3), 39.7 (C-4), 126.1 (C-5), 137.5 (C-6), 22.9 (C-7), 45.0 (C-8), 211.5 (C-9), 30.0 (C-10), 29.7 (C-11), 28.6 (C-12), 19.9 (C-13), 102.4 (C-1'), 75.2 (C-2'), 77.9 (C-3'), 71.7 (C-4'), 78.1 (C-5'), 62.7 (C-6')。以上数据与文献[14]报道的(DMSO-*d*₆)基本一致, 故鉴定为淫羊藿次苷 B6。

化合物 4 白色粉末(甲醇); ESI-MS m/z : 425 [$M + Na$]⁺, 441 [$M + K$]⁺, 401 [$M - H$]⁻, 437 [$M + Cl$]⁻, 分子量 402, 分子式 $C_{18}H_{26}O_{10}$; ¹H NMR (DMSO-*d*₆, 500 MHz): δ 7.41 (2H, dd, $J = 7.2, 1.5$ Hz, H-2,6), 7.34 (1H, td, $J = 7.2, 1.5$ Hz, H-3.5), 7.28 (1H, tt, $J = 7.2, 1.5$ Hz, H-4), 4.91 (1H, d, $J = 3.0$ Hz, H-1'), 4.78, 4.57 (各 1H, d, $J = 12.2$ Hz, H₂-7), 4.22 (1H, d, $J = 7.7$ Hz, H-1'), 3.88, 3.60 (各 1H, d, $J = 9.3$ Hz, H₂-4'), 3.34 (2H, s, H-5'); ¹³C NMR (DMSO-*d*₆, 125 MHz): δ 137.9 (C-1), 127.8 (C-2,6), 128.2 (C-3,5), 127.4 (C-4), 70.3 (C-7), 101.9 (C-1'), 73.3 (C-2'), 76.6 (C-3'), 69.5 (C-4'), 75.7 (C-5'), 67.7 (C-6'), 109.3 (C-1''), 75.9 (C-2''), 78.8 (C-3''), 73.4 (C-4''), 63.2 (C-5'')。以上数据与文献[15]报道的一致, 故鉴定为淫羊藿次苷 F2。

化合物 5 白色粉末(甲醇); ESI-MS m/z : 425 [$M + Na$]⁺, 441 [$M + K$]⁺, 401 [$M - H$]⁻, 437 [$M + Cl$]⁻, 分子量 402, 分子式 $C_{18}H_{26}O_{10}$; ¹H NMR (DMSO-*d*₆, 500 MHz): δ 7.40 (2H, dd, $J = 7.4, 1.6$ Hz, H-2,6), 7.34 (2H, td, $J = 7.4, 1.6$ Hz, H-3,5), 7.27 (1H, tt, $J = 7.4, 1.6$ Hz, H-4), 4.80, 4.58 (各 1H, d, $J = 12.2$ Hz, H₂-7), 4.24 (1H, d, $J = 6.3$ Hz, H-1'), 4.22 (1H, d, $J = 7.8$ Hz, H-1'); ¹³C NMR (DMSO-*d*₆, 125 MHz): δ 138.0 (C-1), 127.8 (C-2,6), 128.1 (C-3,5), 127.3 (C-4), 70.2 (C-7), 101.9 (C-1'), 73.4 (C-2'), 76.6 (C-3'), 69.5 (C-4'), 75.7 (C-5'), 68.2 (C-6'), 103.5 (C-1''), 70.6

(C-2''), 72.5 (C-3''), 67.3 (C-4''), 64.8 (C-5''); ¹H NMR (CD₃OD, 500 MHz): δ 7.42 (2H, br d, $J = 7.3$ Hz, H-2,6), 7.33 (2H, br t, $J = 7.3$ Hz, H-3,5), 7.26 (1H, br t, $J = 7.3$ Hz, H-4), 4.91, 4.66 (各 1H, d, $J = 11.8$ Hz, H₂-7), 4.37 (1H, d, $J = 7.8$ Hz, H-1'), 4.34 (1H, d, $J = 6.9$ Hz, H-1''); ¹³C NMR (CD₃OD, 125 MHz): δ 139.1 (C-1), 129.3 (C-2,6), 129.2 (C-3,5), 128.6 (C-4), 71.9 (C-7), 103.4 (C-1'), 75.1 (C-2'), 77.9 (C-3'), 71.7 (C-4'), 77.0 (C-5'), 69.5 (C-6'), 105.2 (C-1''), 72.4 (C-2''), 74.2 (C-3''), 69.5 (C-4''), 66.7 (C-5'')。以上数据与文献[16~17]报道的一致, 故鉴定为苯甲醇 α -L-阿拉伯糖-(1→6)- β -D-葡萄糖苷, 即苯甲醇 β -巢菜糖苷。

化合物 6 白色粉末(甲醇); ESI-MS m/z : 439 [$M + Na$]⁺, 455 [$M + K$]⁺, 415 [$M - H$]⁻, 451 [$M + Cl$]⁻, 分子量 416, 分子式 $C_{19}H_{28}O_{10}$; ¹H NMR (CD₃OD, 500 MHz): δ 7.26 (4H, br s, H-2,3,5,6), 7.17 (1H, m, H-4), 4.31 (1H, d, $J = 7.6$ Hz, H-1'), 4.30 (1H, d, $J = 6.8$ Hz, H-1''); ¹³C NMR (CD₃OD, 125 MHz): δ 140.1 (C-1), 129.3 (C-2,6), 130.0 (C-3,5), 127.2 (C-4), 37.2 (C-7), 71.8 (C-8), 104.4 (C-1'), 75.0 (C-2'), 77.9 (C-3'), 71.6 (C-4'), 76.9 (C-5'), 69.5 (C-6'), 105.1 (C-1''), 72.4 (C-2''), 74.2 (C-3''), 69.4 (C-4''), 66.7 (C-5'')。以上数据与文献[17]报道的一致, 故鉴定为苯乙醇 α -L-阿拉伯糖-(1→6)-葡萄糖苷, 即苯乙醇 β -巢菜糖苷。

化合物 7 白色粉末(甲醇); ESI-MS m/z : 275 [$M + Na$]⁺, 291 [$M + K$]⁺, 251 [$M - H$]⁻, 287 [$M + Cl$]⁻, 分子量 252, 分子式 $C_{10}H_{20}O_7$; ¹H NMR (CD₃OD, 500 MHz): δ 4.34 (1H, d, $J = 7.8$ Hz, H-1'), 3.67/3.66 (各 1H, dd, $J = 6.1, 2.9$ Hz, H-2/3), 1.16/1.14 (各 3H, d, $J = 6.1$ Hz, H₃-1/4); ¹³C NMR (CD₃OD, 125 MHz): δ 16.0 (C-1), 80.3 (C-2), 70.3 (C-3), 18.7 (C-4), 102.3 (C-1'), 74.9 (C-2'), 77.9 (C-3'), 71.6 (C-4'), 77.9 (C-5'), 62.7 (C-6')。以上数据与文献[18]报道的(C₅D₅N)基本一致, 故鉴定为 2,3-丁二醇 2-O- β -D-葡萄糖苷。

化合物 8 白色粉末(甲醇); ESI-MS m/z : 158 [$M + Na$]⁺, 174 [$M + K$]⁺, 134 [$M - H$]⁻, 170 [$M + Cl$]⁻, 分子量 135, 分子式 C₅H₅N₅; ¹H NMR (DMSO-*d*₆, 500 MHz): δ 12.86 (1H, br s, H-9), 8.11, 8.09 (各 1H, br s, H-2,8), 7.11 (2H, br s, NH₂); ¹³C NMR (DMSO-*d*₆, 125 MHz): δ 152.4 (C-2), 150.2 (C-4), 118.5 (C-5), 155.9 (C-6), 138.9 (C-8)。以上数据与文献[19]报道的一致, 故鉴定为腺嘌呤。

2 结果和讨论

从降香檀叶的醇提和水煮液中分离鉴定了(3S)-6,7-二羟基-6,7-二氢芳樟醇(**1**)、淫羊藿次苷B1(**2**)、淫羊藿次苷B6(**3**)、淫羊藿次苷F2(**4**)、苯甲醇 β -巢菜糖苷(**5**)、苯乙醇 β -巢菜糖苷(**6**)、2,3-丁二醇2-O- β -D-葡萄糖苷(**7**)和腺嘌呤(**8**)，这些非黄酮类化合物均为首次从该植物中报道。

在原代人脐静脉内皮细胞体外实验和雄性小鼠体内实验中，淫羊藿次苷B6(**3**)可通过减少高迁移率族蛋白B1(HMFB1)诱导的促炎性血管刺激物来恢复血管完整性，从而降低脓毒症死亡率^[20]；在体外还有弱的抗凝血活性，在400 $\mu\text{g mL}^{-1}$ 浓度下对血小板聚集的抑制率为22.9%^[21]；并可抑制脂多糖诱导的小鼠小胶质Bv-2细胞中一氧化氮的产生($\text{IC}_{50}=50.9 \mu\text{mol L}^{-1}$ ^[22])。淫羊藿次苷F2(**4**)对HEK293T细胞中核因子(NF)- κB 的转录表达显示出中等抑制活性^[23]。化合物**4**和苯乙醇 β -巢菜糖苷(**6**)在体外对人急性早幼粒白血病HL-60细胞的增殖有强抑制活性， IC_{50} 值分别为5.31和6.98 $\mu\text{mol L}^{-1}$ ；还可抑制人红白血病HEL-299细胞的增殖， IC_{50} 值分别为38.31和68.52 $\mu\text{mol L}^{-1}$ ^[24]。腺嘌呤(**8**)是遗传物质DNA和RNA的组成单元，广泛参与遗传、代谢等生命活动，其代谢缺陷能引起诸多严重疾病，如智力缺陷、心血管疾病、肾衰竭、痛风和血毒症^[25]。腺嘌呤还能促进白细胞增生，使白细胞数目增加，用于苯中毒、抗药和抗甲状腺药等引起的白细胞减少症，尤其是肿瘤化学治疗时引起的白细胞减少症，也用于急性粒细胞减少症^[26]。

降香檀叶含有淫羊藿次苷B6、淫羊藿次苷F2、苯乙醇 β -巢菜糖苷、腺嘌呤等活性化合物，预示它可能具有抗炎、抑制白血病细胞增殖、促进白细胞增生等保健功能。

参考文献

- [1] CHUN W Y. Flora of Hainan, Vol. 2 [M]. Beijing: Science Press, 1965: 289–290.
陈焕镛. 海南植物志, 第2卷 [M]. 北京: 科学出版社, 1965: 289–290.
- [2] Chinese Pharmacopoeia Commision. The Pharmacopoeia of the People's Republic of China, Vol. 1 [M]. Beijing: China Medical Science Press, 2015: 229–230.
国家药典委员会. 中华人民共和国药典, 一部 [M]. 北京: 中国医药科技出版社, 2015: 229–230.
- [3] YANG Z H, MEI C, HE X H, et al. Advance in studies on chemical constitutions, pharmacological mechanism and pharmacokinetic profile of *Dalbergiae Odoriferae Lignum* [J]. Chin J Chin Mat Med, 2013, 38(11): 1679–1683. doi: 10.4268/cjcm20131107.
杨志宏, 梅超, 何雪辉, 等. 降香化学成分、药理作用及药代特征的研究进展 [J]. 中国中药杂志, 2013, 38(11): 1679–1683. doi: 10.4268/cjcm20131107.
- [4] THE S N. A review on the medicinal plant *Dalbergia odorifera* species: Phytochemistry and biological activity [J]. Evid Based Complement Alternat Med, 2017, 2017: 7142370. doi: 10.1155/2017/7142370.
- [5] WANG H, MEI W L, GUO Z K, et al. Chemical constituents of *Dalbergia odorifera* [J]. Chin J Chin Mat Med, 2014, 39(9): 1625–1629. doi: 10.4268/cjcm20140916.
王昊, 梅文莉, 郭志凯, 等. 降香的化学成分研究 [J]. 中国中药杂志, 2014, 39(9): 1625–1629. doi: 10.4268/cjcm20140916.
- [6] WANG H, MEI W L, YANG D L, et al. Phenolic compounds from the heart wood of *Dalbergia odorifera* T. Chen [J]. Nat Prod Res Dev, 2014, 26(6): 856–859, 842. doi: 10.16333/j.1001-6880.2014.06.011.
王昊, 梅文莉, 杨德兰, 等. 降香中的酚性化合物 [J]. 天然产物研究与开发, 2014, 26(6): 856–859, 842. doi: 10.16333/j.1001-6880.2014.06.011.
- [7] GUO L B, SUN L L, DENG Q, et al. Studies on flavonoids from Lignum *Dalbergiae Odoriferae* (II) [J]. J Chin Med Mat, 2010, 33(6): 915–917.
郭丽冰, 孙丽丽, 邓琪, 等. 降香中黄酮类化学成分研究(II) [J]. 中药材, 2010, 33(6): 915–917.
- [8] GUO L B, WANG L. Studies on flavonoids from *Dalbergia odorifera* [J]. Chin Trad Herb Drugs, 2008, 39(8): 1147–1149.
郭丽冰, 王蕾. 降香中黄酮类化学成分研究 [J]. 中草药, 2008, 39(8): 1147–1149.
- [9] BI H P, SONG X P, HAN C R, et al. Studies on the chemical constituents of the essential oil from the leaves of *Dalbergia odorifera* T. Chen [J]. J Chin Med Mat, 2004, 27(10): 733–735. doi: 10.3321/j.issn:1001-4454.2004.10.013.
毕和平, 宋小平, 韩长日, 等. 降香檀叶挥发油成分的研究 [J]. 中药材, 2004, 27(10): 733–735. doi: 10.3321/j.issn:1001-4454.2004.10.013.
- [10] LI L, LIU J Z, LUO M, et al. Efficient extraction and preparative separation of four main isoflavonoids from *Dalbergia odorifera* T. Chen leaves by deep eutectic solvents-based negative pressure cavitation extraction followed by macroporous resin column chromatography [J]. J Chromatogr B, 2016, 1033–1034: 40–48. doi: 10.1016/j.jchromb.2016.08.005.
- [11] LI J Y, CHEN D L. Antioxidant activity of the extracts from *Dalbergia*

- odorifera* T. Chen leaves *in vitro* [J]. *Med Plant*, 2013, 4(6): 58–61.
- [12] WANG J P, GUAN Z Y, DONG C F, et al. Chemical constituents of *Illicium burmanicum* [J]. *Chin J Chin Mat Med*, 2014, 39(13): 2526–2530. doi: 10.4268/cjcm20141333.
王佳平, 管正叶, 董传福, 等. 中缅八角化学成分研究 [J]. 中国中药杂志, 2014, 39(13): 2526–2530. doi: 10.4268/cjcm20141333.
- [13] XUE P F, LU X H, WANG B, et al. The megastigmane glycosides from herb of *Potentilla multifida* [J]. *Chin J Chin Mat Med*, 2005, 30(13): 983–986. doi: 10.3321/j.issn:1001–5302.2005.13.006.
薛培凤, 路新华, 王邠, 等. 多裂委陵菜中的四甲基环己烯型单萜苷 [J]. 中国中药杂志, 2005, 30(13): 983–986. doi: 10.3321/j.issn:1001–5302.2005.13.006.
- [14] TI H H, XU L X, CHEN Z H, et al. Megastigmane sesquiterpenes and phenylpropanols from *Epimedium pseudowushanense* [J]. *J Trop Subtrop Bot*, 2015, 23(1): 99–102. doi: 10.11926/j.issn.1005–3395.2015.01.014.
遆慧慧, 徐良雄, 陈志辉, 等. 拟巫山淫羊藿的 megastigmane 糖苷和苯丙醇类成分 [J]. 热带亚热带植物学报, 2015, 23(1): 99–102. doi: 10.11926/j.issn.1005–3395.2015.01.014.
- [15] HAN J J, LIU H, GUO P, et al. Chemical constituents from *Serissa japonica* [J]. *J Chin Med Mat*, 2016, 39(1): 94–97. doi: 10.13863/j.issn1001–4454.2016.01.022.
韩晶晶, 柳航, 郭培, 等. 六月雪全草化学成分研究 [J]. 中药材, 2016, 39(1): 94–97. doi: 10.13863/j.issn1001–4454.2016.01.022.
- [16] WU B, LI W, LIN W H, et al. Studies on the antibacterial chemical components of *Senecio cannabifolius* Less. (III) [J]. *Nat Prod Res Dev*, 2005, 17(4): 440–443. doi: 10.3969/j.issn.1001–6880.2005.04.014.
吴斌, 李文, 林文辉, 等. 麻叶千里光抗菌化学成分的研究(III) [J]. 天然产物研究与开发, 2005, 17(4): 440–443. doi: 10.3969/j.issn.1001–6880.2005.04.014.
- [17] LEE S Y, KIM K H, LEE I K, et al. A new flavonol glycoside from *Hylomecon vernalis* [J]. *Arch Pharm Res*, 2012, 35(3): 415–421. doi: 10.1007/s12272-012-0303-8.
- [18] KITAJIMA J, ISHIKAWA T, TANAKA Y. Water-soluble constituents of fennel: I. Alkyl glycosides [J]. *Chem Pharm Bull*, 2013, 46(10): 1643–1646. doi: 10.1248/cpb.46.1643.
- [19] ZHOU J L, JIANG Y, BI Z M, et al. Study on nucleosides from *Fritillaria puqiensis* [J]. *Chin Pharm J*, 2008, 43(12): 894–896. doi: 10.3321/j.issn:1001–2494.2008.12.004.
周建良, 姜艳, 毕志明, 等. 蒲圻贝母中核苷类化学成分研究 [J]. 中国药学杂志, 2008, 43(12): 894–896. doi: 10.3321/j.issn:1001–2494.2008.12.004.
- [20] ZHOU W, OH J, LEE W, et al. The first cyclomegastigmane rhododendroside A from *Rhododendron brachycarpum* alleviates HMGB1-induced sepsis [J]. *Biochim Biophys Acta*, 2014, 1840(6): 2042–2049. doi: 10.1016/j.bbagen.2014.02.016.
- [21] LI L Z, GAO P Y, SONG S J, et al. Monoterpene and flavones from the leaves of *Crataegus pinnatifida* with anticoagulant activities [J]. *J Funct Foods*, 2015, 12: 237–245. doi: 10.1016/j.jff.2014.11.012.
- [22] GUO Q, BAI R F, SU G Z, et al. Chemical constituents from the roots and stems of *Litsea cubeba* [J]. *J Asian Nat Prod Res*, 2016, 18(1): 51–58. doi: 10.1080/10286020.2015.1118063.
- [23] LI W, YANG S Y, YAN X T, et al. NF-κB inhibitory activities of glycosides and alkaloids from *Zanthoxylum schinifolium* stems [J]. *Chem Pharm Bull*, 2014, 62(2): 196–202. doi: 10.1248/cpb.c13-00759.
- [24] THAO N P, LUYEN B T T, DIEP C N, et al. *In vitro* evaluation of the antioxidant and cytotoxic activities of constituents of the mangrove *Lumnitzera racemosa* Willd [J]. *Arch Pharm Res*, 2015, 38(4): 446–455. doi: 10.1007/s12272-014-0429-y.
- [25] WU P P, HUANG L Y, HUANG L P, et al. Analysis of the extraction of adenine from *Anoectochilus roxburghii* [J]. *Chin Hosp Pharm J*, 2013, 33(3): 215–218. doi: 10.13286/j.cnki.chinhosppharmacyj.2013.03.004
吴萍萍, 黄丽英, 黄丽萍, 等. 金线莲中腺嘌呤的提取与分析 [J]. 中国医院药学杂志, 2013, 33(3): 215–218. doi: 10.13286/j.cnki.chinhosppharmacyj.2013.03.004.
- [26] WANG J Y, ZHU S G, XU C F. *Biochemistry*, Vol. 1 [M]. 3rd ed. Being: Higher Education Press, 2002: 6.
王镜岩, 朱圣庚, 徐长法. 生物化学, 上册 [M]. 第3版. 北京: 高等教育出版社, 2002: 6.